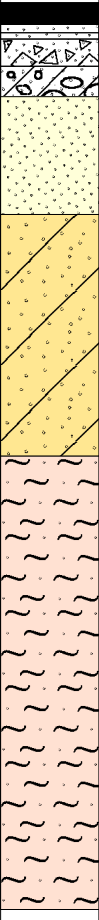


|  |                               |              |  |       |                                    |                   |         |  |  |                            |        |      |     |      |      |
|--|-------------------------------|--------------|--|-------|------------------------------------|-------------------|---------|--|--|----------------------------|--------|------|-----|------|------|
| MATEST Sp z o.o.<br>ul. Rataja 10, 05-850 Pogorzew   |                               |              | KARTA OTWORU GEOTECHNICZNEGO<br>Profil numer 27                                    |       |                                    |                   |         | Zał.Nr: 2-27                           |  |                            |        |      |     |      |      |
| Rejon: DP 3500E<br>Miejscowość: Pajęczno - Będków<br>Powiat: pajęczański<br>Województwo: łódzkie |                               |              | Obiekt: Przebudowa DP 3500E<br>Zleceniodawca: eRWu Rafał Włodarczyk                |       |                                    |                   |         | System wiercenia: Mechaniczno-obrotowy |  |                            |        |      |     |      |      |
|  |                               |              |  |       |                                    |                   |         | Rzędna:                                |  |                            |        |      |     |      |      |
|  |                               |              |  |       |                                    |                   |         | Skala 1 : 25                           |  | Data wiercenia: 2015-08-06 |        |      |     |      |      |
| Wiercenie  | Głębokość<br>zwiarcia<br>wody | Stratygrafia | Profil<br>litologiczny   |       | Przelot                            | Opis litologiczny | Grubość | Symbol gruntu                          | Wilgotność                                       | Stan gruntu                | ID     | IL   |     |      |      |
|  | [m.p.p.t]                     |              | [m]  |       | [m]                                |                   |         |  |  |                            |        |      |     |      |      |
| 1  | 2                             | 3            | 4  | 5     | 6                                  | 7                 | 8       | 9                                      | 10   | 11                         | 12     | 13   |     |      |      |
|  |                               |              |  | 0.070 | Nawierzchnia asfaltowa             | 0.07              | -       |  |  |                            |        |      |     |      |      |
|  |                               |              |  | 0.120 | Podb. z kruszywa otoczanego asfalt | 0.05              |         |  |  |                            |        |      |     |      |      |
|  |                               |              |  | 0.210 | Podbudowa z kruszywa łamanego      | 0.09              |         |  |  |                            |        |      |     |      |      |
|  |                               |              |  | 0.310 | Podbudowa stabilizowana spoiwem    | 0.1               |         |  |  |                            |        |      |     |      |      |
|  |                               |              |  |       |                                    |                   |         | 0.310                                  | piasek drobny                                    | 0.39                       | Pd     | s/mw | szg | 0.55 |      |
|  |                               |              |  |       |                                    |                   |         | 0.700                                  | piasek gliniasty                                 | 0.8                        | Pg     | mw   |     |      | 0.15 |
|  |                               |              |  |       |                                    |                   |         | 1.500                                  | pył piaszczysty na pograniczu piasku gliniastego | 1.5                        | Πp//Pg | w    | tpl |      | 0.10 |
|  |                               |              |  |       |                                    |                   |         | 3.000                                  |  | 0                          |        |      |     |      |      |
|  |                               |              |  |       |                                    |                   |         |  |  |                            |        |      |     |      |      |